

骨形态发生蛋白受体-IA的单核苷酸多态性对后纵韧带骨化的影响

权学民¹, 张耀¹, 张强^{1*}, 赵昌松¹, 王浩², 赵汝岗¹, 马睿¹

1. 首都医科大学附属北京地坛医院骨科, 北京 100015

2. 首都医科大学附属北京天坛医院骨科, 北京 100050

【关键词】骨形态发生蛋白质类; 基因表达; 骨化, 后纵韧带

【中图分类号】R 342.2 【文献标志码】B 【文章编号】1672-2957(2022)04-0263-05

【DOI】10.3969/j.issn.1672-2957.2022.04.009

Effect of single nucleotide polymorphism of bone morphogenetic protein receptor-IA on ossification of posterior longitudinal ligament

Quan Xuemin¹, Zhang Yao¹, Zhang Qiang^{1*}, Zhao Changsong¹, Wang Hao², Zhao Rugang¹, Ma Rui¹

1. Department of Orthopaedics, Beijing Ditan Hospital, Capital Medical University, Beijing 100015, China

2. Department of Orthopaedics, Beijing Tiantan Hospital, Capital Medical University, Beijing 100050, China

【Key Words】Bone morphogenetic proteins; Gene express; Ossification of posterior longitudinal ligament

J Spinal Surg, 2022, 20(4): 263-267

后纵韧带骨化症(OPLL)的特征是异位骨形成替代韧带组织^[1-2]。OPLL在亚洲人中的发生率高于欧洲人和美国人,有报道^[3]显示,OPLL在日本的发生率为1.9%~4.3%,在中国为0.44%~8.92%。目前OPLL的发生机制仍未完全阐明,遗传因素和环境因素在其发生过程中均起作用。既往研究^[4-9]表明,遗传因素是OPLL的主要因素,并且和环境因素相互作用。骨形态发生蛋白(BMP)是转化生长因子- β (TGF- β)超家族的成员,BMP结合骨形态发生蛋白受体-IA(BMPR-IA)、BMPR-IB和BMPR-II,通过Smad信号转导通路刺激成骨细胞分化^[10-11]。BMPR-IA是BMPR家族的一种亚型,在BMP信号转导通路中起着重要调节作用^[12-14]。既往研究^[10]表明,BMPR-IA在异位骨化的发生、发展中起着重要作用。本研究旨在探讨BMPR-IA在OPLL发展中的作用,评估其是否为OPLL的易感基因,现报告如下。

1 材料与方法

1.1 主要试剂和仪器

DNA纯化试剂盒(Promega公司,美国);

*通信作者(Corresponding author)

作者简介 权学民(1978—),博士,副主任医师;quan_xuemin@163.com

通信作者 张强 zhangqwte@sina.com

C3H10T1/2细胞(北京协和细胞库,中国);引物和pcDNA3.1-BMPR-IA质粒(Invitrogen公司,美国);ABI 3730XL POP7 DNA测序分析5.2系统(Applied Biosystems公司,美国);Lipofectamine 2000转染试剂盒、胎牛血清和培养基(Invitrogen公司,美国);BMPR-IA特异性单克隆抗体(Santa Cruz公司,美国);P-Smad1/5/8和Smad4多克隆抗体(CST公司,美国);碱性磷酸酶(AKP/ALP)测试盒和骨钙素(OST)测试盒(南京建成生物工程研究所,中国)。

1.2 材料获取

选择首都医科大学附属北京地坛医院和天坛医院收治的292例OPLL患者和586名非OPLL者(表1)。OPLL的诊断主要基于影像学检查,包括X线、CT和MRI。OPLL分型由侧位X线片和CT确定。根据影像学 and 实验室检查,排除强直性脊柱炎和其他代谢性疾病(如骨软化症、骨质疏松症、弥漫性特发性骨骼肥大症或甲状旁腺功能亢进症)。本研究经医院伦理委员会审核批准(KY2011-005-01),所有参与者知情同意并签署知情同意书。

1.3 BMPR-IA的单核苷酸多态性(SNP)扩增和基因分型

使用DNA纯化试剂盒分离DNA,通过PCR

扩增整个BMPR-1A编码序列,通过ABI 3730XL POP7 DNA测序分析5.2系统对PCR产物进行基因分型,相关引物见表2,排除杂合度未知且等位基因频率低于5%的SNP位点。

表1 2组患者一般资料

组别	n	性别		年龄/岁	体质量/kg	身高/cm	吸烟史	饮酒史	OPLL分型			
		男	女						局灶	节段	连续	混合
OPLL	292	162	130	55.2 ± 9.9	59.7 ± 6.4	163.1 ± 6.6	118	86	20	116	52	104
非OPLL	586	295	291	54.8 ± 7.6	59.1 ± 8.0	164.1 ± 9.8	256	125	-	-	-	-

表2 BMPR-1A引物序列

引物编号	序列		退火温度/°C
	正义链	反义链	
1	GCGTTGGATGGGAGCGATAA	GGAAGCTGCCACAGTGTG	58
2	CTCACGTCGGTCTGTCC	CCCTGCTCCATGCCTCAC	61
3	CGGAGGAGTTTATCACCTCAGCAGAGC	TTCCATCATGGCCAAAAGTTACTAGCA	60
4	AGAGATTGGAATCCGCTGCCGGGCTT	ACCCGCGAGTGGGAGACAAAAGAGG	55
5	GGACTATTGAGATTGTTTAATATAC	GAAAGAACAGAAGCAAGAAATAGTG	55
6	GGACTATTGAGATTGTTTAATATAC	GAAAGAACAGAAGCAAGAAATAGTG	55
7	CCACAATGCATCTGGCCCCAAGGAG	TGTGATTATTACACATGCCATGCCTGTATC	55
8	ACATCAGATTACTGGGAGCC	TATAGCAAAGCAGCTGGAG	52
9	AAGCCTTAAGAAGATAAATGA	ATTACCCTAATGAAGTTTTTG	62
10	TGATTACTGTCTCCAGTCAAGC	TCTCAGGTTAAAAGGCCAAAGTC	50

1.4 细胞模型构建

取第10代C3H10T1/2细胞,按照 1.5×10^4 /孔的密度接种于6孔板内,待细胞生长至60%~80%汇合时,使用Lipofectamine 2000通过pcDNA3.1-BMP2质粒进行转染。随机将细胞分为6组:正常组、空载体组、野生型组、rs34755052单突变组、rs11528010单突变组和双突变组。

1.5 蛋白质印迹法检测各组BMPR-1A、P-Smad1/5/8和Smad4的表达

用PBS缓冲液清洗3次,加入RIPA裂解液和蛋白酶抑制剂,匀浆器匀浆,4℃下 $12\ 000 \times g$ 离心10 min($g=9.806\ 65\ m/s^2$),取上清测定蛋白浓度,取等量蛋白提取物通过SDS-PAGE进行分离,电泳转移到硝酸纤维素膜上。将膜在5%脱脂牛奶的 $1 \times$ Tris缓冲盐水和 $1 \times$ TBST中封闭1 h,然后与特异性单克隆抗体在室温下孵育4 h,与二抗在室温下孵育1 h,通过化学发光进行显色,使用Kodak Image Station扫描并分析。

1.6 检测ALP和OC活性

将细胞转入50 mmol Tris(pH 7.40)中,并通过超声裂解。采用酶联免疫吸附法,37℃时以10 mmol对硝基苯基磷酸酯为底物的测定缓冲液(100 mmol Sigma221缓冲液含10 mmol $MgCl_2$, pH 10.3)中测试

细胞裂解物的ALP和OC活性。使用 OD_{405} 的光密度读取反应混合物,并使用对硝基苯酚的标准曲线(P-NP 500 nmol/ml, Sigma)作为参考。

1.7 统计学处理

采用SPSS 25.0软件对数据进行统计分析,符合正态分布的计量资料以 $\bar{x} \pm s$ 表示,Hardy-Weinberg平衡以及基因型和等位基因分布采用 χ^2 检验,组间比较采用独立样本 t 检验;以 $P < 0.05$ 为差异有统计学意义。

2 结果

2.1 2组BMPR-1A的SNP位点基因型和等位基因分布

共鉴定12个既往报道过的BMPR-1A的SNP位点,其中,rs34755052(C/T)和rs11528010(C/A)的频率组间差异有统计学意义($P < 0.05$,表3)。2个位点的基因型和等位基因分布比较,rs34755052(C/T)中“CC”“CT”和“TT”基因型差异有统计学意义($P < 0.05$,表3),且OPLL组中“C”“T”等位基因的频率低于非OPLL组,差异有统计学意义($P < 0.05$,表3)。rs11528010(C/A)中的“CC”“CA”和“AA”基因型差异有统计学意义($P < 0.05$,表3),且OPLL组中“C”“A”等位基因的频率低于非OPLL组,差异有统计学意义($P < 0.05$,表3)。

表3 2组 rs34755052(C/T)和 rs11528010(C/A)的基因型和等位基因分布

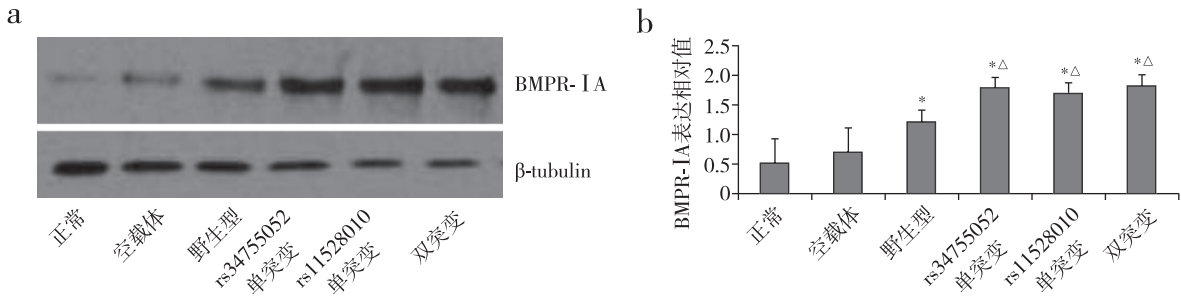
组别	n	rs34755052(C/T)					rs11528010(C/A)				
		基因型			等位基因		基因型			等位基因	
		CC	CT	TT	C	T	CC	CA	AA	C	A
OPLL	292	58*	146*	88*	262*	322*	56*	117*	119*	229*	355*
非OPLL	586	70	234	282	374	798	47	270	269	364	808

注: *与非OPLL组相比, $P < 0.05$ 。

2.2 BMPR-IA 在各转染组的表达

蛋白质印迹法检测结果显示, 野生型组、rs34755052单突变组、rs11528010单突变组、双突

变组的BMPR-IA蛋白表达明显高于正常组和空载体组, 且各突变组均高于野生型组, 差异具有统计学意义($P < 0.05$, 图1)。



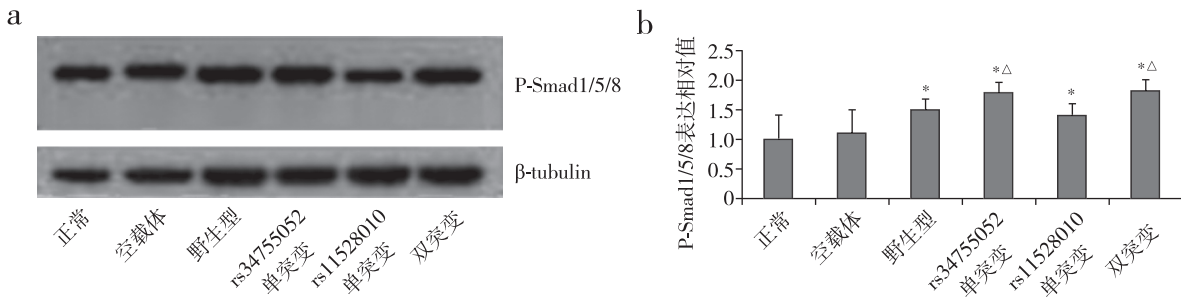
注: *与正常组和空载体组比较, $P < 0.05$; Δ 与野生型组比较, $P < 0.05$ 。

图1 各转染组细胞BMPR-IA蛋白表达

2.3 P-Smad1/5/8 和 Smad4 在各转染组的表达

蛋白质印迹法检测结果显示, 野生型组、rs34755052单突变组, rs11528010单突变组、双突变组的P-Smad1/5/8蛋白表达明显高于正常组和空载体组, 差异具有统计学意义($P < 0.05$, 图2); 且

rs34755052单突变组和双突变组明显高于rs11528010单突变组和野生型组, 差异具有统计学意义($P < 0.05$, 图2)。各组P-Smad4蛋白表达差异无统计学意义($P > 0.05$, 图3)。



注: *与正常组和空载体组比较, $P < 0.05$; Δ 与rs11528010单突变组和野生型组比较, $P < 0.05$ 。

图2 各转染组细胞P-Smad1/5/8蛋白表达

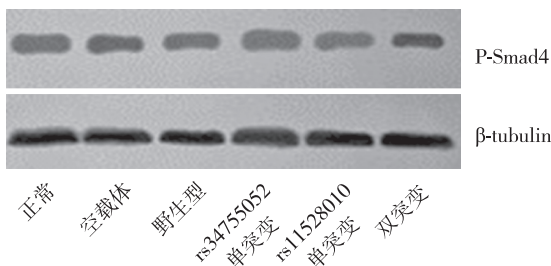


图3 各转染组细胞P-Smad4蛋白表达

2.4 各转染组的ALP和OC活性

野生型组、rs34755052单突变组、rs11528010单突变组和双突变组的ALP活性明显高于正常组和空载体组, rs34755052单突变组高于其他突变组和野生型组, 野生型组高于rs11528010单突变组, 差异均有统计学意义($P < 0.05$, 表4)。

野生型组和rs34755052单突变组的OC活性明

显高于正常组和空载体组, 差异有统计学意义 ($P < 0.05$, 表 4)。

表 4 各转染组细胞 ALP 和 OC 活性

组别	ALP 活性 / ($U \cdot g^{-1}$)	OC 活性 / ($ng \cdot mL^{-1}$)
正常	14.74 ± 0.46	0.72 ± 0.18
空载体	15.08 ± 0.51	0.79 ± 0.24
野生型	23.67 ± 0.42* ^{△▲}	1.01 ± 0.28*
rs34755052 单突变	30.56 ± 0.44*	1.04 ± 0.31*
rs11528010 单突变	19.07 ± 0.39* [△]	0.75 ± 0.30
双突变	21.62 ± 0.52* [△]	0.88 ± 0.33

注: *与正常组和空载体组比较, $P < 0.05$; Δ 与 rs34755052 单突变组比较, $P < 0.05$; \blacktriangle 与 rs11528010 单突变组比较, $P < 0.05$ 。

3 讨 论

BMPR-IA 可能在 OPLL 发展的不同阶段发挥重要作用。首先, 病理学研究^[15]发现, BMPR 在 OPLL 患者的骨化韧带组织中高表达; 其次, 免疫组织化学研究^[16]表明, 骨化基质中存在 BMPR-IA; 此外, 还有研究^[17-18]表明, 微调水平的 BMPR-IA 介导的信号对于牙齿和颞下颌关节的发育至关重要。

本研究首先分析了 BMPR-IA 整个编码区内的遗传变异是否与 OPLL 发生有关, 共鉴定了 12 个 SNP 位点, 发现 OPLL 患者和非 OPLL 者的 rs34755052 (C/T) 和 rs11528010 (C/A) 位点频率不同。比较 OPLL 患者和非 OPLL 者 2 个 SNP 位点的基因型和等位基因的分布发现, rs34755052 (C/T) 中“CC”“CT”“TT”基因型有差异, rs11528010 (C/A) 中的“CC”“CA”“AA”基因型有差异, 表明“CT”基因型和“CA”基因型与 OPLL 的发生有关。但是, 鉴于 rs34755052 (C/T) 位于 BMPR-IA 基因的上游, 而 rs11528010 (C/A) 位于 BMPR-IA 基因的第 3 外显子, 该 SNP 位点对 OPLL 遗传易感性的影响尚不确定。既往研究^[19]发现, BMPR-IA 基因上游有部分转录因子结合位点影响了 BMPR-IA 的表达, 并导致原本具有不良成骨活性的细胞发生钙化。因此, 本研究组进一步检测这些 SNP 位点是否影响 BMPR-IA 的基因表达和细胞内信号转导。BMP 信号通路主要通过 Smad 介导的信号转导途径发生, 在 BMP 信号通路中, P-Smad1/5/8 和 Smad4 是关键蛋白, 而 ALP 和 OC 是成骨细胞特异性蛋白^[13, 20-22]。本研究发现, 野生型组和各突变组表达的 BMPR-IA 蛋白明显高于正常组和空载体组, 而各突变组又高于野生型组, 表明野生型或突变型载体可以成功转染到 C3H10T 1/2 细胞中并且可以稳定表达。野生型

组和各突变型组表达的 P-Smad1/5/8 蛋白明显高于正常组和空载体组, 其中 rs34755052 单突变组又高于其他突变组和野生型组, 表明 BMPR-IA 基因的 rs34755052 (C/T) 位点与 P-Smad1/5/8 蛋白表达呈正相关。野生型组和各突变组 ALP 活性明显高于正常组和空载体组, 其中 rs34755052 单突变组又高于其他突变组和野生型组, 野生型组又高于 rs11528010 单突变组, 表明 BMPR-IA 基因的 rs34755052 (C/T) 位点与 ALP 活性呈正相关。野生型组和 rs34755052 单突变组 OC 活性明显高于正常组和空载体组, 表明 BMPR-IA 基因的 rs34755052 (C/T) 位点与 OC 活性呈正相关。综上, rs34755052 (C/T) 位点通过影响 BMPR-IA 空间构象的核苷酸变化进而导致蛋白质功能异常。

早期的 OPLL 可采用非手术治疗, 但大多数 OPLL 患者病情是进展性的, 因此, 常须手术治疗。近年来问世的新靶点药物或许能够为其提供新的治疗选择。Smad 介导的信号通路在 BMPR-IA 基因的 SNP 位点诱导 OPLL 的病理过程中起着重要作用, 因此成为 OPLL 治疗的靶点之一, 在以后的研究中, 该领域还需要更进一步研究。有研究^[23]发现, 自然状态下骨化灶轴向长度每年增长约 2.0 mm, 厚度每年增长约 0.2 mm, 连续型和/或混合型骨化灶为骨化进展的主要危险因素。与自然进程相比, 后路椎板切除融合术、各种前路手术均能减缓 OPLL 进展, 而无内固定的椎板切除术、椎板成形术则会加快骨化进展。本研究中连续型和混合型 OPLL 患者约占 53.4%, 须引起重视。但是, 该差异是否有其相应的遗传分子机制, 尚须进一步研究。

本研究的局限性。首先, 尽管 C3H10T1/2 细胞已被用作人类胚胎成纤维细胞的替代模型用来研究成骨细胞、脂肪细胞和软骨细胞分化的分子机制, 但仍会出现不完全相同的表型导致偏差。其次, 本研究组没有检测其他成骨基因的表达, 例如 Runt 相关转录因子 2 (RUNX2)、I 型胶原蛋白 alpha1 (COL1A1) 和骨桥蛋白 (OPN), 因此, 无法了解其他易感基因及其致病性。此外, 尽管 BMPR-IA 基因中 2 个 SNP 位点与 OPLL 的发生有关, 但其发生的详细机制仍然不完全清楚, 在后续研究中, 需要进一步研究明确 BMPR-IA 的特定功能。

综上, BMPR-IA 是 OPLL 的易感基因之一。rs34755052 (C/T) 中的“CT”基因型和 rs11528010 (C/A) 中的“CA”基因型与 OPLL 的发生有关。BMPR-IA 基因上游的 rs34755052 (C/T) 位点与 P-Smad1/5/8 蛋白表达水平及 ALP 和 OC 活性呈正相

关。Smad介导的信号通路在BMPR- IA诱导OPLL的病理过程中起着重要作用。

参考文献

- [1] 王珑清, 许晨辉, 叶程, 等. 脊柱后纵韧带骨化症病因学研究进展[J]. 脊柱外科杂志, 2021, 19(2): 130-135.
- [2] 赵春, 张长春, 周平辉, 等. 颈椎后纵韧带骨化症的研究进展[J]. 中华全科医学, 2020, 18(5): 821-825.
- [3] Matsunaga S, Sakou T. Ossification of the posterior longitudinal ligament of the cervical spine: etiology and natural history[J]. Spine(Phila Pa 1976), 2012, 37(5): E309-E314.
- [4] Doi T, Sakamoto R, Horii C, *et al.* Risk factors for progression of ossification of the posterior longitudinal ligament in asymptomatic subjects[J]. J Neurosurg Spine, 2020, 8: 1-7.
- [5] Xu G, Liu C, Liang T, *et al.* Integrated miRNA-mRNA network revealing the key molecular characteristics of ossification of the posterior longitudinal ligament[J]. Medicine(Baltimore), 2020, 99(21): e20268.
- [6] Ikegawa S. Genomic study of ossification of the posterior longitudinal ligament of the spine[J]. Proc Jpn Acad Ser B Phys Biol Sci, 2014, 90(10): 405-412.
- [7] Wang P, Liu X, Zhu B, *et al.* Association of IL17RC and COL6A1 genetic polymorphisms with susceptibility to ossification of the thoracic posterior longitudinal ligament in Chinese patients[J]. J Orthop Surg Res, 2018, 13(1): 109.
- [8] Khuyagbaatar B, Kim K, Park WM, *et al.* Biomechanical investigation of post-operative C₅ palsy due to ossification of the posterior longitudinal ligament in different types of cervical spinal alignment[J]. J Biomech, 2017, 57: 54-61.
- [9] 陈广辉, 陈仲强, 杨晓曦, 等. 机械应力因素在脊柱韧带骨化发生机制中的作用研究进展[J]. 脊柱外科杂志, 2020, 18(3): 203-207.
- [10] Wang H, Jin W, Li H. Genetic polymorphisms in bone morphogenetic protein receptor type IA gene predisposes individuals to ossification of the posterior longitudinal ligament of the cervical spine *via* the smad signaling pathway[J]. BMC Musculoskelet Disord, 2018, 19(1): 61.
- [11] Liu S, Yin F, Fan W, *et al.* Over-expression of BMPR-IB reduces the malignancy of glioblastoma cells by upregulation of p21 and p27Kip1[J]. J Exp Clin Cancer Res, 2012, 31(1): 52.
- [12] Katagiri T, Watabe T. Bone morphogenetic proteins[J]. Cold Spring Harb Perspect Biol, 2016, 8(6): a021899.
- [13] Raja E, Komuro A, Tanabe R, *et al.* Bone morphogenetic protein signaling mediated by ALK-2 and DLX2 regulates apoptosis in glioma-initiating cells[J]. Oncogene, 2017, 36(35): 4963-4974.
- [14] Andrews MG, Del Castillo LM, Ochoa-Bolton E, *et al.* BMPs direct sensory interneuron identity in the developing spinal cord using signal-specific not morphogenic activities[J]. eLife, 2017, 6: e30647.
- [15] Orzechowska S, Świsłocka R, Lewandowski W. Model of pathological collagen mineralization based on spine ligament calcification[J]. Materials(Basel), 2020, 13(9): 2130.
- [16] Orzechowska S, Wróbel A, Kozieł M, *et al.* Physicochemical characterization of mineral deposits in human ligamenta flava[J]. J Bone Miner Metab, 2018, 36(3): 314-322.
- [17] Li L, Wang Y, Lin M, *et al.* Augmented BMPRIA-mediated BMP signaling in cranial neural crest lineage leads to cleft palate formation and delayed tooth differentiation[J]. PLoS One, 2013, 8(6): e66107.
- [18] Gu S, Wu W, Liu C, *et al.* BMPRIA mediated signaling is essential for temporomandibular joint development in mice[J]. PLoS One, 2014, 9(8): e101000.
- [19] Dahdaleh FS, Carr JC, Calva D, *et al.* SP1 regulates the transcription of BMPRIA[J]. J Surg Res, 2011, 171(1): e15-e20.
- [20] Ishan M, Chen G, Sun C, *et al.* Increased activity of mesenchymal ALK2-BMP signaling causes posteriorly truncated microglossia and disorganization of lingual tissues[J]. Genesis, 2020, 58(1): e23337.
- [21] Li N, Liu J, Liu H, *et al.* Altered BMP-Smad4 signaling causes complete cleft palate by disturbing osteogenesis in palatal mesenchyme[J]. J Mol Histol, 2021, 52(1): 45-61.
- [22] Yang J, Kitami M, Pan H, *et al.* Augmented BMP signaling commits cranial neural crest cells to a chondrogenic fate by suppressing autophagic β -catenin degradation[J]. Sci Signal, 2021, 14(665): eaaz9368.
- [23] 石维, 陈雄生. 颈椎后纵韧带骨化自然进程及外科干预的影响[J]. 中华骨科杂志, 2018, 38(24): 1537-1544.

(接受日期: 2021-10-22)

(本文编辑: 刘映梅)